

## بررسی توزیع IgG نشاندار شده با ۱۲۵-I در موش‌های سالم و ملتهب

محمد حسین بابائی، ثریا شاهحسینی، رضا نجفی

بخش رادیو ایزو توب‌های مرکز تحقیقات هسته‌ای، سازمان انرژی اتمی ایران و  
دانشکده داروسازی دانشگاه علوم پزشکی شهید بهشتی

### چکیده

آنی‌بادی‌های نشاندار شده با مواد رادیواکتیو گروه جدیدی از عوامل تصویربرداری را تشکیل می‌دهند که در تشخیص محل بیماری بکار می‌روند. اگر چه نتایج رضایت‌بخشی تا به حال حاصل شده است اما تجارب پالینی نشانده‌ند تجمع کم اکتیویته در بافت هدف و تجمع بالای اکتیویته در بافت‌های سالم می‌باشد که تحقیقات وسیع‌تری را جهت بهبود توزیع حیاتی آنی‌بادی‌های نشاندار شده با مواد رادیواکتیو می‌طلبند. در مطالعه حاضر توزیع حیاتی IgG نشاندار شده با ۱۲۵-I در موش‌های سالم و موش‌هایی با التهاب در ران چپ مورد بررسی قرار گرفت. نتایج نشان دادند که ۱۲۵-IgG-125-I در عضله ملتهب بیش از عضله سالم تجمع یافته و مقدار اکتیویته در عضله ملتهب برخلاف بافت‌های سالم به مرور زمان افزایش می‌یابد و در صورتی که با اتخاذ روش‌های جدید نشاندار کردن اکتیویته بافت‌های سالم کاهش یابد در آن صورت آنی‌بادی‌های نشاندار شده با مواد رادیواکتیو در تعیین محل التهاب مفید خواهد بود.

از عوامل تصویربرداری را تشکیل می‌دهند که در شناسایی محل بیماری (sites of disease) بکار می‌روند. روش تصویربرداری خارجی که بعد از تزریق آنی‌بادی‌های رادیواکتیو به منظور مشخص کردن کانون‌های افزایش اکتیویته صورت می‌گیرد رادیو ایمونودیتکشن (Radioimmunodetection=RID) یا رادیو ایمونوستنی گرافی (Radioimmunoscintigraphy=RIS) نامیده می‌شود. اگرچه RID اولین بار برای شناسایی بافت‌های بدخیم بکار رفت ولی کاربردهای دیگری هم از آن حاصل شده است مثل تصویربرداری آنفارکتوس قلبی، التهاب، پلاک‌های آتروسکلروتیک

### مقدمه

ایمونوگلوبولین یا آنی‌بادی‌ها جزو گلیکوپروتئین‌ها می‌باشند که به طور اختصاصی با آنی‌زن اتصال یافته و بدنبال آن پاسخ‌های ثانویه در in-vivo ایجاد می‌شوند. ساختمان و اجزاء تشکیل دهنده آنی‌بادی‌ها به خوبی توسط محققین تشریح شده‌اند (۱).

اغلب کاربردهای آنی‌بادی‌ها در تحقیقات پایه - تشخیص و ایمونوتراپی (Immunotherapy) براساس نشاندار کردن آنی‌بادی با مواد مختلف از جمله رادیو نوکلیدها، آنزیم‌ها، سموم و غیره می‌باشد (۲). آنی‌بادی‌های نشاندار با مواد رادیواکتیو گروه جدیدی

گذاشته و اکتیویته آنها اندازه گرفته شد. درصد ذر تزریقی در هر گرم بافت ( $\%ID/g tissue$ ) تعیین شد. با اندازه گیری اکتیویته سرنگ قبل از تزریق و بعد از تزریق ذر تزریق شده کل حاصل می‌شود.

## نتایج

نتایج توزیع اکتیویته در اعضای انتخابی موش‌های سالم و ملتهب در جدول‌های ۱ و ۲ و منحنی‌های مربوطه در شکل‌های ۱ و ۲ نشان داده است.

نتایج نشان می‌دهد که میزان اکتیویته بافت‌های سالم مثل خون و معده و کلیه‌ها در موش‌های سالم و ملتهب بالا بوده و با مرور زمان کاهش می‌یابد. در موش‌های سالم بین اکتیویته ران چپ و ران راست اختلاف معنی‌داری وجود ندارد در حالی که در موش‌های ملتهب اختلاف معنی‌دار است و اکتیویته ران چپ و به مرور زمان افزایش یافته و مدت زمان بیشتری نسبت به خون بالا می‌ماند و پس از ۲۴ ساعت رو به کاهش می‌گذارد. در حالی که اکتیویته خون و سایر اعضاء با مرور زمان کاهش می‌یابد. در ضمن اختلاف معنی‌داری در برداشت (Uptake) اغلب بافت‌ها بین موش‌های سالم و ملتهب وجود ندارد.

## بحث

آنثی‌بادی‌های نشاندار شده با مواد رادیواکتیو در مطالعات تصویربرداری و درمانی به مقدار زیادی استفاده شده‌اند. اگرچه نتایج رضایت‌بخشی هم در رادیوایمونوتراپی و رادیوایمونوستی‌گرافی حاصل شده است اما بررسی توزیع حیاتی آنثی‌بادی‌های نشاندار تجمع کم اکتیویته در بافت هدف و تجمع بالای اکتیویته در بافت‌های سالم را نشان می‌دهد. از آنجایی

(Atherosclerotic plaques) مختلفی برای نشاندار کردن آنثی‌بادی‌ها بکار رفته‌اند مثل  $^{99m}Tc$ ,  $^{125}I$ ,  $^{125}In$  و ....

در مطالعه حاضر  $IgG$  انسانی با  $^{125}I$  و روش کلرآمین- $T$  یدینه شده است. کلرآمین- $T$  یک عامل اکسیدکننده ملایمی بوده که به آرامی اسید هیپوکرونس را در محلول مانع آزاد کرده و باعث اکسید شدن ید می‌شود. ید به طور کووالان به حلقه آروماتیک اسید آمینه تیروزین آنتی‌بادی وصل می‌شود (۳). پس از نشاندار کردن توزیع حیاتی  $IgG$ - $^{125}I$  در موش‌های سالم و ملتهب بررسی شدند.

## مواد و روش‌ها

$^{125}I$  به صورت  $NaI$ - $^{125}$  با فعالیت ویژه  $100\mu Ci/\mu l$  از Amersham خریداری شد.

$IgG$  از پلاسمای انسانی تهیه شد (۴).  $IgG$  با روش کلرآمین- $T$  یدینه شد (۵).

$40\mu$  تریتین در قسمت عقب ران چپ موش  $Balb/c mice$  ( $^{125}I$ -تزریق شده و سپس موش‌ها به مدت ۴۸ ساعت در شرایط طبیعی قرار گرفتند تا این که التهاب در ران چپ ایجاد شد. بعد از ۴۸ ساعت مقدار  $IgG$ - $^{125}I$   $15\mu Ci$  معادل  $0.1 ml$  از طریق سیاهرگ دمی به هر موش تزریق شد. تعداد کل موش‌هایی که به آنها  $IgG$ - $^{125}I$  تزریق شد ۴۸ عدد بوده که ۲۴ تایی آنها قبل از تزریق دریافت کرده بودند.

۴ موش سالم و ۴ موش ملتهب را در زمان‌های ۲، ۴، ۶، ۸، ۲۴ و ۴۸ ساعت بعد از تزریق اکتیویته با اتر کشته و سپس اعضای انتخابی (خون، طحال، کبد، معده، روده، کلیه، ماهیچه ران چپ، ماهیچه ران راست و یک استخوان ران) را برداشته و در لوله‌هایی از قبل وزن شده

در ساعت ۲ به ۷/۵٪ در ساعت ۲۴ می‌رسد. در موش‌های سالم بین اکتیویته ران چپ و ران راست اختلاف معنی‌داری وجود ندارد (جدول ۱ و شکل ۱).<sup>۱۷</sup> بررسی‌ها نشان داده است که بدنبال تجویز آنتی‌بادی یدینه شده با روش‌های متداول بیش از ۵۰٪ آنتی‌بادی یدینه شده با روش‌های سالم شود که یا ناشی از ید آزاد و یا اکتیویته در ادرار یافت می‌شود که یا ناشی از ید آزاد و یا اجزاء آنتی‌بادی یدینه می‌باشد. و اشر فوق باعث افزایش اکتیویته در خون و معده و روده‌ها و کلیه‌ها in-vivo می‌شود. برای کاهش دیدینه شدن آنتی‌بادی در در نتیجه کاهش اکتیویته در بافت‌های سالم تحقیقات وسیعی جهت تغییر روش‌های یدینه کردن صورت گرفته است مثل استفاده از معرف‌هایی که حاوی ید در موقعیت متأتاً یا پارای حلقه آروماتیک خود بوده و در ضمن به راحتی با آنتی‌بادی کونزوگه می‌شوند.<sup>۱۸</sup> بنابراین اگر روش یدینه کردن آنتی‌بادی تغییر یابد به طوری که دیدینه شدن در in-vivo کاهش یابد در آن صورت اکتیویته خون و معده و کلیه‌ها کاهش یافته و اکتیویته هدف بالا می‌رود. با بهبود نسبت آکتیویته هدف به بافت‌های سالم تصویربرداری مناسبی صورت گرفته و محل التهاب به راحتی توسيط آنتی‌بادی‌های یدینه شده تعیین می‌گردد.

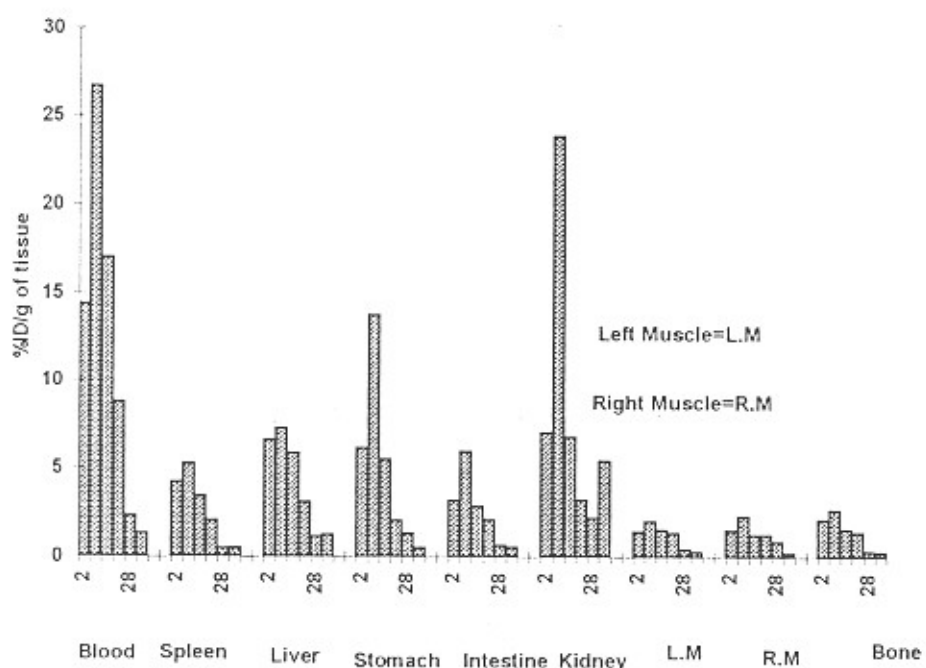
که نتایج ایمونوتراپی یا ایمونوستی‌گرافی بستگی زیادی به نسبت اکتیویته بافت هدف به بافت‌های سالم دارد تحقیقات وسیعی صورت گرفته است تا توزیع حیاتی آنتی‌بادی‌های نشاندار با مواد رادیواکتیو بهبود یابد که از جمله می‌توان به تغییر روش‌های نشاندار کردن اشاره کرد.<sup>۱۹</sup>

در مطالعه حاضر IgG به روش کلرآمین-T یدینه شده است. در این روش ید در موقعیت ارتوگروه هیدروکسیل حلقه آروماتیک اسید آمینه تیروزین آنتی‌بادی قرار گرفته که از این نظر با هورمون تیروئید شباهت ساختمانی دارد و در in-vivo دیدینه می‌شود. نتایج تحقیق حاضر نشانده اکتیویته بالای خون و معده و روده‌ها و کلیه‌ها در موش‌های سالم و ملتهد بوده و اختلاف معنی‌داری را در اکتیویته اغلب بافت‌ها بین موش‌های سالم و ملتهد نشان نمی‌دهد. همانطور که از جدول ۲ و شکل ۲ مشخص است در موش‌های ملتهد اکتیویته ران چپ (باف ملتهد) نسبت به ران راست (باف سالم) بشرط بوده و با مرور زمان افزایش می‌یابد. در ران چپ مقدار g/ID% از ۲٪ در ساعت ۲ به ۵٪ در ساعت ۲۴ می‌رسد اما اکتیویته اعضای دیگر با زمان کاهش می‌یابد مثلاً در خون مقدار g/ID% از ۱۸٪

جدول ۱: درصد دز تزریق شده در هر گرم بافت (%) در دسته‌های ۴ تا یی موش‌های سالم

در زمان‌های ۰.۲، ۰.۴، ۰.۶، ۰.۸ و ۰.۹ ساعت بعد از تزریق  $^{125}\text{I}$ -IgG

عضو	۲ ساعت	۴ ساعت	۶ ساعت	۲۴ ساعت	۲۸ ساعت	۴۸ ساعت
خون	۱۴/۴±۴/۴۸	۲۶/۷۰±۴/۳	۱۷±۲/۹۴	۸/۸±۰/۱	۲/۳±۰/۵	۱/۲۲±۰/۷۲
طحال	۴/۲۰±۰/۲۶	۵/۲۲±۰/۷۶	۲/۴±۰/۷۱	۲/۰۲±۰/۰	۰/۴۸±۰/۱۲	۰/۵۲±۰/۱۶
کبد	۶/۶±۱/۱۵	۷/۳±۰/۸	۵/۸۰±۰/۴۸	۳/۱۰±۰/۸۵	۱/۱۶±۰/۵۷	۱/۲۰±۰/۴
معده	۶/۱۳±۰/۹۸	۱۲/۷۷±۴/۸۱	۵/۴۸±۱/۹۰	۲/۰۳±۰/۲۹	۱/۲۴±۰/۳۹	۰/۵۱±۰/۲
رووده	۳/۱۵±۱/۱۹	۵/۹۵±۰/۳۵	۲/۸۰±۰/۵	۲/۰۸±۰/۳۷	۰/۶۶±۰/۲۲	۰/۵۳±۰/۱۲
کلیه	۷/۰۵±۰/۵۷	۲۲/۸۰±۲/۸۵	۶/۸±۱/۰۶	۲/۰۲±۰/۲۹	۲/۲±۰/۵۷	۰/۴۲±۰/۱۱
زان چپ	۱/۴۳±۰/۴۵	۲±۰/۵	۱/۰۳±۰/۲۸	۱/۵۳±۰/۰۵	۰/۴۲±۰/۱۸	۰/۲۸±۰/۱
زان راست	۱/۰±۰/۲۱	۲/۳۰±۱/۲۶	۱/۲۵±۰/۱۸	۱/۲۰±۰/۰۵	۰/۸۶±۰/۸۱	۰/۲۲±۰/۰۵
استخوان	۲/۱۰±۰/۰۴	۲/۶۷±۰/۱۹	۱/۰۷±۰/۲۱	۱/۴±۰/۲۵	۰/۳۱±۰/۰۷	۰/۲۸±۰/۰۳

شکل ۱: نمودار نوزیع جباتی  $^{125}\text{I}$ -IgG (%) در زمان‌های ۰.۲، ۰.۴، ۰.۶، ۰.۸ و ۰.۹ ساعت

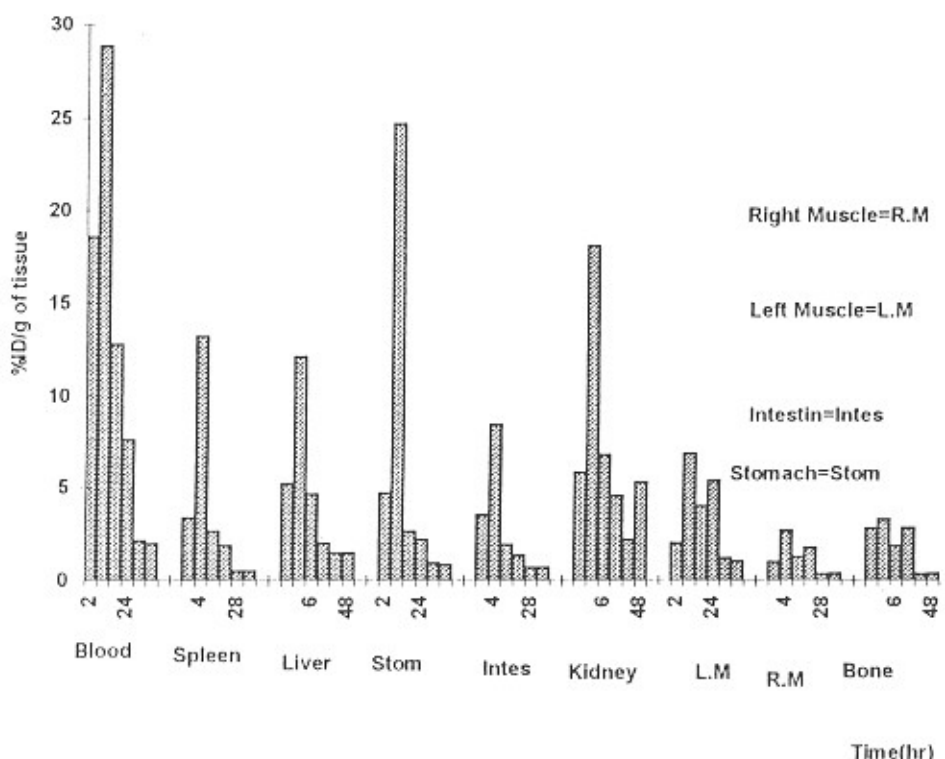
بعد از تزریق اکتیویته در موش‌های سالم

## بررسی توزیع IgG نشاندار شده

جدول ۲: درصد دز تزریق شده در هر گرم بافت (%) در دسته های ۴ تابی موش های ملتهب

در زمان های ۲، ۴، ۶، ۸ و ۴۸ ساعت بعد از تزریق I-125-IgG

عضو	۲ ساعت	۴ ساعت	۶ ساعت	۸ ساعت	۲۴ ساعت	۲۸ ساعت	۴۸ ساعت
خون	۱۸/۵۷±۲/۰۴	۲۸/۸۲±۲/۰۳	۱۲/۷۵±۱/۸۴	۷/۵۸±۰/۸	۲/۱۲±۰/۲۲	۱/۹۲±۰/۶۴	۰/۴۹±۰/۲۱
طحال	۳/۲۲±۱/۰۸	۱۲/۱۷±۱/۷۲	۲/۶۲±۰/۶۲	۱/۱۳±۰/۲۲	۰/۴۹±۰/۲۶	۲/۱۲±۰/۲۲	۱/۹۲±۰/۶۴
کبد	۵/۱۰±۱/۳۱	۱۲/۱۱±۲/۷۲	۴/۶±۱/۳۷	۱/۹۷±۰/۷	۱/۴۴±۰/۵۹	۰/۴۷±۰/۱۲	۱/۹۲±۰/۶۴
معده	۴/۶۸±۱/۱۱	۲۴/۶۲±۰/۷۵	۲/۶۲±۰/۷	۲/۲±۰/۰۷	۰/۹۲±۰/۴۰	۰/۸۲±۰/۰۴	۰/۴۹±۰/۲۱
رووده	۳/۵±۰/۰۴	۸/۴۲±۱/۸۱	۱/۹±۰/۳	۱/۲۲±۰/۲۲	۰/۶۸±۰/۲۲	۰/۶۸±۰/۲۴	۰/۴۸±۰/۲۴
کلیه	۵/۱۸±۰/۷۳	۱۸/۱۱±۲/۸۲	۶/۸±۱/۷۴	۴/۵۲±۰/۷۸	۲/۱۸±۰/۸۴	۰/۲۷±۱/۸۶	۱/۰۳±۰/۸۹
ران چپ	۲±۰/۰۴	۹/۸۷±۰/۶۹	۴±۱/۲۲	۰/۲۰±۰/۶۰	۱/۲±۰/۲۸	۱/۰۳±۰/۸۹	۰/۲۹±۰/۱۰
ران راست	۱±۰/۴۸	۲/۶۹±۱/۱۲	۲/۶۹±۱/۱۲	۰/۲۰±۰/۰۶	۰/۲۰±۰/۰۶	۰/۲۹±۰/۱۰	۰/۲۶±۰/۰۱
استخوان	۲/۸۱±۰/۲۹	۲/۲۸±۰/۴	۱/۸۲±۰/۲۵	۲/۸۲±۰/۶۶	۰/۲۴±۰/۰۷	۰/۲۴±۰/۰۷	۱/۹۲±۰/۶۴



شکل ۲: نمودار توزیع حباتی IgG (I-125-IgG) (%) در زمان های ۲، ۴، ۶، ۸ و ۴۸ ساعت

بعد از تزریق اکتیویته در موش های ملتهب

## منابع

- 1 - Clamp J.R and Johnson I, Glycopeoteins, A. Gottschalk, ed. Elsevier, Amsterdam. 1972:612
- 2 - Wilchek M, Bayer E. Methods in Enzymology, Vol 184, Avidin-Biotin Technology (1).1990:162.
- 3 - Goldenberg D.M, Larson S.M, Radioimmunodetection in Cancer Identification, J. Nucl. Med. 1992; 33:803-814.
- 4 - Johnston A, Thorpe R. Immunochemistry in Practice, 1996: 62.
- 5 - Johnston A, Thorpe R. Immunochemistry in Practice, 1996: 134.
- 6 - Henkin R.E, Boles M.A, Dillehay G.L, Halama J.R, Karesh S.M, Wagner R.H, Zimmer A.M. Nuclear Medicine, 1996:511.